

## Capitolul 1

### Comportarea semnalelor MA/MF în cadrul blocurilor de radiofrecven

#### 1. Caracteristica de transfer a circuitelor rezonante deriva\_ie.

Fie amplificatorul cu circuit rezonant deriva\_ie din figura de mai jos. Se dau:  $y_{12} = 0$ ,  $y_{21} = 20 \text{ mA / V}$ ,  $g_{11} = 0,5 \text{ mA / V}$ ,  $g_{22} = 20 \text{ } \mu\text{A / V}$ ,  $C_{22} = 10 \text{ pF}$  la  $f_0 = 1 \text{ MHz}$ . De asemenea se cunosc  $L = 20 \text{ } \mu\text{H}$  și  $R = 8 \text{ k}\Omega$ . Se cer:

- schema echivalent\_ cu parametri Y ai amplificatorului;
- valoarea condensatorului C pentru ca frecven\_a de rezonan\_\_ a circuitului deriva\_ie s\_ fie  $f_r = f_0$  ;
- factorul de calitate  $Q_t$  \_i banda de trecere  $B_{3\text{dB}}$  pentru circuitul rezonant deriva\_ie;
- factorul de transfer  $H(\omega_0)$  al etajului la frecven\_a  $f_0$  ;
- expresiile pentru factorul de transfer normalat, pentru argumentul factorului de transfer \_i pentru timpul de întârziere de grup, func\_ie de frecven\_\_.

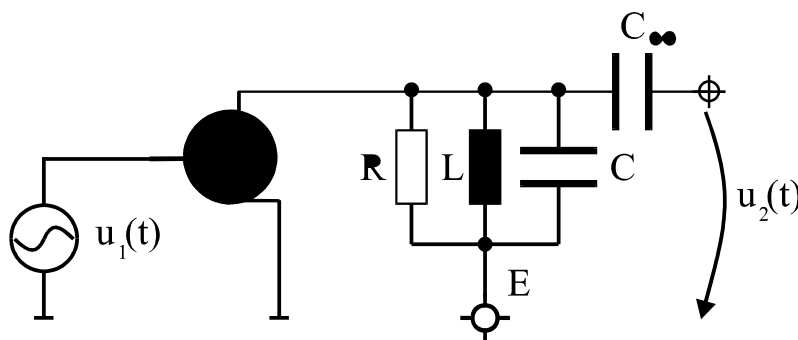


Figura 01.01.01. Amplificator cu circuit rezonant deriva\_ie.

**Rezolvare.**

a) Se pleacă de la schema echivalentă cu parametri  $Y$  ai tranzistorului în conexiune EC.

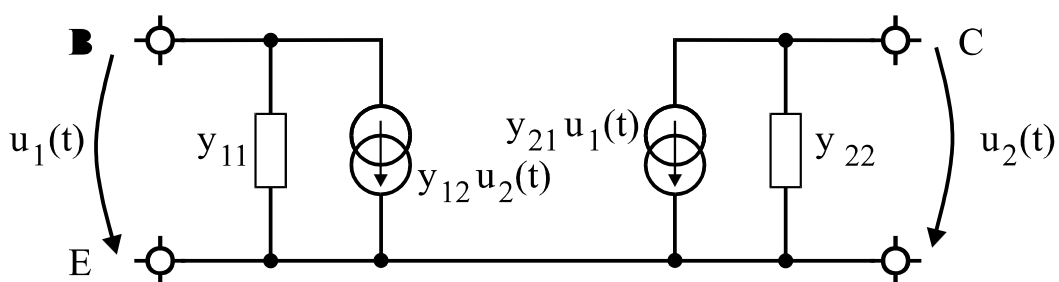


Figura 01.01.02. Schema echivalent\_ cu parametri Y ai tranzistorului.

În cadrul schemei din figura 01.01.02 admitan\_ele  $y_{11}$  \_i  $y_{22}$  sunt date de rela\_iile

$$y_{11} = g_{11} + j\omega C_{11},$$

$$y_{22} = g_{22} + j\omega C_{22}. \quad (01.01.01)$$

Ca urmare schema echivalent\_ a amplificatorului devine cea prezentat\_ în cadrul figurii 01.01.03.

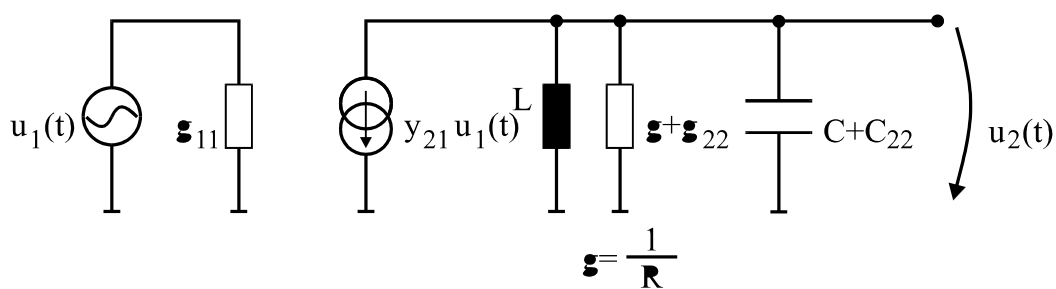


Figura 01.01.03. Schema echivalent\_ a amplificatorului.

b) Frecven\_ă de rezonan\_ă este:

$$f_0 = \frac{1}{2\pi \sqrt{L(C + C_{22})}} , \quad (01.01.02)$$

deci

$$C = \frac{1}{4\pi^2 f_0^2 L} - C_{22} = 1,25 \text{ nF} . \quad (01.01.03)$$

c) Factorul de calitate \_i banda la 3 dB sunt date de expresiile:

$$Q = \frac{R_{22} - R}{\omega_0 L} = \frac{\frac{R}{g_{22}}}{\omega_0 L \left( R + \frac{1}{g_{22}} \right)} = \frac{R}{\omega_0 L (R g_{22} + 1)} - 54, \quad (01.01.04)$$

și

$$B_{3\text{ dB}} = \frac{f_0}{Q} = 18,5 \text{ kHz}. \quad (01.01.05)$$

d) Factorul de transfer  $H(\omega_0)$  al etajului se poate deduce din expresia:

$$\underline{H}(\omega) = -g_m \underline{Z}_S = -y_{21} \underline{Z}_S, \quad (01.01.06)$$

unde

$$\begin{aligned} \underline{Y}_S &= y_{22} + \frac{1}{R} - \frac{1}{j\omega L} + j\omega C = g_{22} + j\omega C_{22} + \frac{1}{R} - \frac{1}{j\omega L} + j\omega C = \\ &= \frac{1}{R_t} + j\left(\omega(C + C_{22}) - \frac{1}{\omega L}\right) = \frac{1}{R_t} (1 + jx). \end{aligned} \quad (01.01.07)$$

Ca urmare, expresia impedanței de sarcină  $\underline{Z}_S$  devine

$$\underline{Z}_S = \frac{R_t}{1 + jx}, \quad (01.01.08)$$

unde variabila normalizată  $x$  este

$$\begin{aligned} x &= R_t \left( \omega C_t - \frac{1}{\omega L} \right) = \omega C_t R_t \left( 1 - \frac{1}{\omega^2 L C_t} \right) = \\ &= \omega C_t R_t \left( 1 - \frac{\omega_0^2}{\omega^2} \right) = \omega_0 C_t R_t \left( \frac{\omega}{\omega_0} - \frac{\omega_0}{\omega} \right) = \beta Q, \end{aligned} \quad (01.01.09)$$

cu

$$\beta = \left( \frac{\omega}{\omega_0} - \frac{\omega_0}{\omega} \right) \cdot i Q = \omega_0 C_t R_t . \quad (01.01.10)$$

Dacă interesează comportarea amplificatorului în jurul frecvenței de rezonanță se poate folosi aproximația de bandă îngustă, adică:

$$\beta = \frac{\omega}{\omega_0} - \frac{\omega_0}{\omega} - \frac{2 \Delta \omega}{\omega_0} , \quad (01.01.11)$$

deci

$$x \approx Q \frac{2 \Delta \omega}{\omega_0} . \quad (01.01.12)$$

După efectuarea calculelor la frecvența de rezonanță se obține  $R_t = 6,9 \text{ k}\Omega$  și  $H(\omega_0) = 137,93$ .

e) Conform expresiilor (01.01.06)-(01.01.08) factorul de transfer  $H(\omega)$  al etajului este

$$\underline{H}(\omega) = - \frac{y_{21} R_t}{1 + j x} , \quad (01.01.13)$$

sau, înțind cont de expresia factorului de transfer la frecvența de rezonanță,

$$\left| \frac{\underline{H}(\omega)}{\underline{H}(\omega_0)} \right| = \left| \frac{1}{1 + j x} \right| = \frac{1}{\sqrt{1 + x^2}} \quad (01.01.14)$$

și

$$\underline{H}(\omega) = - \frac{g_m R_t}{1 + x^2} (1 - j x) = \frac{\underline{H}(\omega_0)}{1 + x^2} (-1 + j x) . \quad (01.01.15)$$

De aici se obține

$$\varphi = \arg H(\omega) = \pi - \arctg x \quad (01.01.16)$$

(valoarea complexă a lui  $A_V$  indică faptul că aparține cadranelor II și III). Timpul de întârziere de grup este:

$$\begin{aligned}\tau_g &= - \frac{d}{d\omega} = - \frac{d(\arctg A_V)}{d\omega} = - \frac{d(\pi - \arctg x)}{d\omega} = \frac{d(\arctg x)}{d\omega} = \\ &= \frac{d(\arctg x)}{dx} \frac{dx}{d\omega} = \frac{1}{1+x^2} \frac{dx}{d\omega} = \frac{Q}{1+x^2} \left( \frac{1}{\omega_0} + \frac{\omega_0}{\omega^2} \right) = \frac{Q}{1+x^2} \frac{\omega_0^2 + \omega^2}{\omega_0 \omega^2} .\end{aligned}$$

(01.01.17)

În cazul aproxima\_iei de band\_ îngust\_ ecua\_ia de mai sus se poate scrie:

$$\tau_g = \frac{1}{1+x^2} \frac{2Q\omega_0^2}{\omega_0^3} = \frac{2Q}{\omega_0(1+x^2)} = \frac{\frac{2f_0}{B_{3dB}}}{2\pi f_0(1+x^2)} = \frac{1}{\pi B_{3dB}(1+x^2)}$$

(01.01.18)

deci

$$\tau_{g0} = \frac{1}{\pi B_{3dB}} , \tau_g = \frac{\tau_{g0}}{1+x^2} . \quad (01.01.19)$$

În cadrul figurii 01.01.04. sunt prezentate varia\_ile factorului de transfer normat, a argumentului factorului de transfer  $\arg H(\omega)$  și a timpului de întârziere de grup în func\_ie de frecven\_.

**2. Influen\_a caracteristicii de transfer a circuitelor rezonante deriva\_ie asupra semnalului MA.**

**La intrarea etajului amplificator cu circuit rezonant acordat deriva\_ie din problema precedent\_ se aplic\_ un semnal de forma:**

$$u_1(t) = U_{10} \left( 1 + A \sum_{k=1}^5 \cos k \omega_m t \right) \cos \omega_0 t , \quad (01.02.01)$$

unde  $U_{10} = 3 \text{ mV}$ ,  $A = 0,1$ ,  $f_m = 2 \text{ kHz}$ ,  $f_0 = 1 \text{ MHz}$ . Se cere:

- caracteristicile semnalului de intrare;
- banda ocupat\_ de semnalul de intrare;
- expresia semnalului la ie\_ire;
- gradul de modula\_ie al semnalului  $u_2(t)$ .

**Rezolvare.**

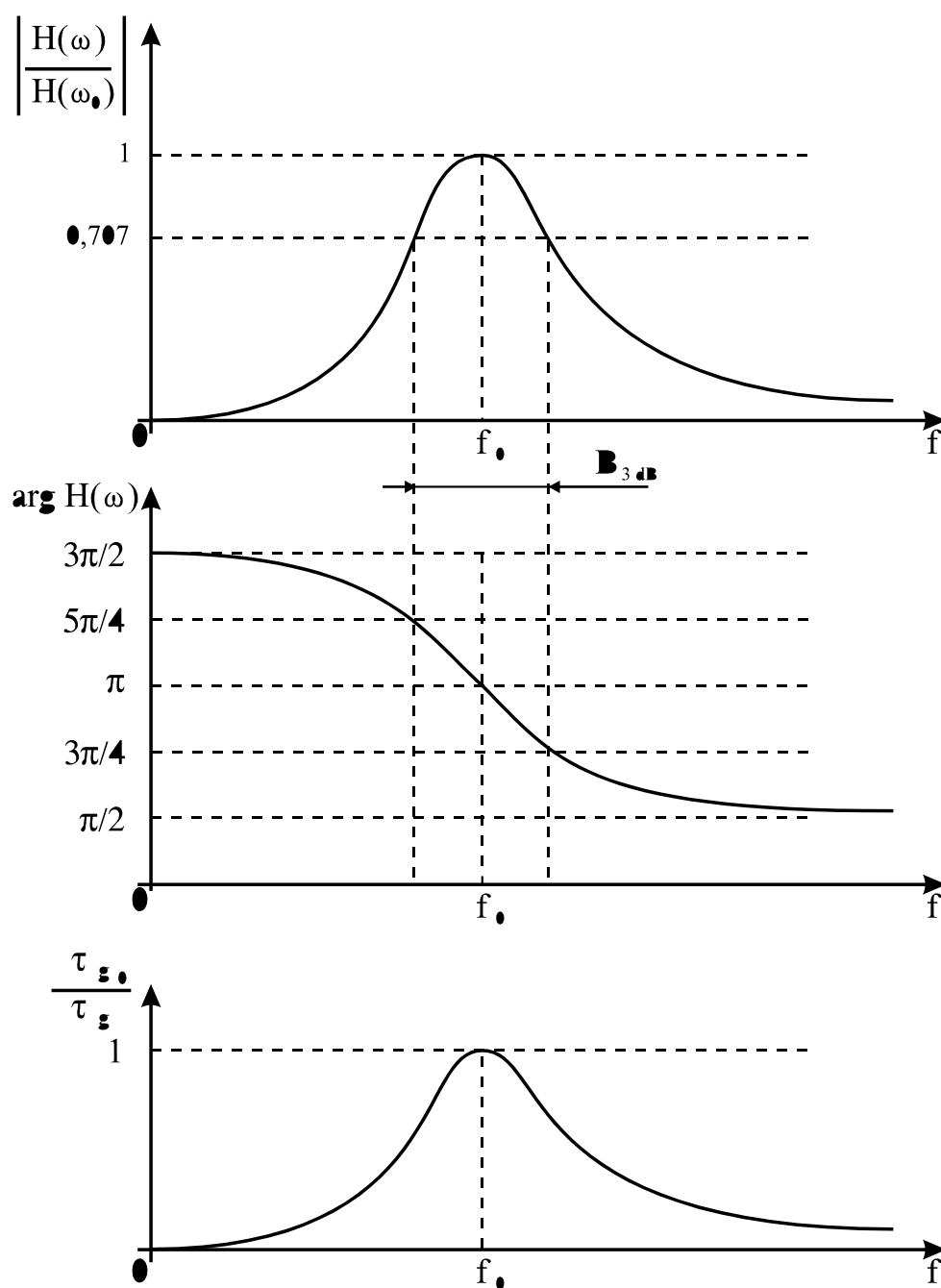


Figura 01.01.04. Varia\_ia parametrilor etajului func\_ie de frecven\_\_\_.



a) Se remarcă faptul că  $u_1(t)$  este un semnal cu modulație în amplitudine, fiind evidentă similitudinea cu forma generală a semnalelor MA:

$$u(t) \quad (01.02.02)$$

unde  $f(t)$  este semnalul modulator normat:

$$f(t) = \frac{g(t)}{\max_{t \in \mathbb{R}} g(t)}, \quad (01.02.03)$$

iar  $g(t)$  este semnalul modulator. Gradul de modulație al semnalului  $u_1(t)$  este dat de:

$$m_1 = \frac{A_{\max} - A_{\min}}{A_{\max} + A_{\min}}, \quad (01.02.04)$$

unde

$$\begin{aligned} A_{\max} &= U_{10} \left( 1 + A \sum_{k=1}^5 1 \right) = U_{10} (1 + 5A) \\ A_{\min} &= U_{10} \left( 1 + A \sum_{k=1}^5 (-1) \right) = U_{10} (1 - 5A), \end{aligned} \quad (01.02.05)$$

deci este vorba de un semnal MA având gradul de modulație subunitar:

$$m_1 = \frac{(1 + 5A) - (1 - 5A)}{(1 + 5A) + (1 - 5A)} = \frac{10A}{2} = 5A = 0,5. \quad (01.02.06)$$

Se determină spectrul semnalului  $u_1(t)$ :

$$\begin{aligned} u_1(t) &= U_{10} \left( 1 + A \sum_{k=1}^5 \cos k \omega_m t \right) \cos \omega_0 t = \\ &= U_{10} \left( \cos \omega_0 t + A \sum_{k=1}^5 \cos k \omega_m t \cos \omega_0 t \right) = \\ &= U_{10} \left( \cos \omega_0 t + \frac{A}{2} \sum_{k=1}^5 \cos (\omega_0 + k \omega_m) t + \frac{A}{2} \sum_{k=1}^5 \cos (\omega_0 - k \omega_m) t \right). \end{aligned} \quad (01.02.07)$$

Se constată că spectrul semnalului  $u_1(t)$  prezentat în figura 01.02.01 conține:

- o componentă pe frecvența  $f_0$  de amplitudine  $U_{10}$ ;
- câte o componentă pe frecvențele  $f_0 \pm k f_m$  având amplitudinea  $\frac{1}{2} U_{10} A$ , cu  $k = 1 \dots 5$ .

b) Banda ocupată de semnalul  $u_1(t)$  este dată de:

$$B_{U_1} = f_{S_{\max}} - f_{S_{\min}} = (f_0 + 5 f_m) - (f_0 - 5 f_m) = 10 f_m = 20 \text{ kHz}. \quad (01.02.08)$$

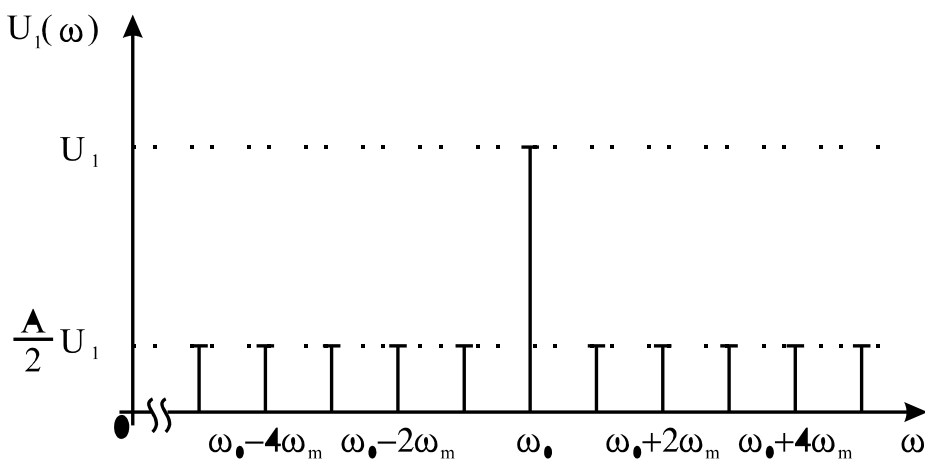


Figura 01.02.01. Spectrul semnalului  $u_1(t)$ .

c) Fiecare componentă spectrală a semnalului  $u_1(t)$  va fi amplificată cu câștigul  $\underline{H}(\omega)$  evaluat la frecvența componentei analizate (calculul se face prin aplicarea metodei suprapunerii efectelor și a metodei armonice). Astfel:

$$u_2(t) = U_{10} \left( \underline{H}(\omega_0) \cos \omega_0 t + \frac{A}{2} \sum_{k=1}^5 \underline{H}(\omega_0 + k \omega_m) \cos(\omega_0 + k \omega_m t) + \frac{A}{2} \sum_{k=1}^5 \underline{H}(\omega_0 - k \omega_m) \cos(\omega_0 - k \omega_m t) \right).$$

(01.02.09)

Întrucât amplificatorul trece-bandă considerat are frecvența centrală (frecvența de rezonanță a circuitului RLC derivativ) egală cu frecvența purtătoare a semnalului MA  
 $u_1(t)$ , se introduc notațiile:

$$\underline{H}(\omega_0) = H_0, \quad \underline{H}(\omega_0 + k\omega_m) = \frac{H_0}{1 + jx_k}, \quad \underline{H}(\omega_0 - k\omega_m) = \frac{H_0}{1 + jx_{-k}},$$

(01.02.10)

cu

$$x_k = x_{\omega_0 + k\omega_m} \quad \text{și} \quad x_{-k} = x_{\omega_0 - k\omega_m},$$

(01.02.11)

respectiv

$$\underline{H}(\omega_0 + k \omega_m) = \frac{H_0}{\sqrt{1 + x_k^2}} e^{j \arctg x_k}, \quad \underline{H}(\omega_0 - k \omega_m) = \frac{H_0}{\sqrt{1 + x_{-k}^2}} e^{j a}$$

(01.02.12)

deci semnalul de ieșire are expresia

$$u_2(t) = U_{10} H_0 \left( \cos \omega_0 t + \frac{A}{2} \sum_{k=1}^5 \frac{e^{-j \arctg x_{-k}}}{\sqrt{1 + x_{-k}^2}} \cos(\omega_0 - k \omega_m)t + \right. \\ \left. + \frac{A}{2} \sum_{k=1}^5 \frac{e^{-j \arctg x_k}}{\sqrt{1 + x_k^2}} \cos(\omega_0 + k \omega_m)t \right).$$

(01.02.13)

Considerând valabilă aproximația de bandă îngustă (se are în vedere și faptul că  $5f_m \ll f_0$ ) se poate aproxima  $x_{k-} - x_{-k}$ , deci:

$$x_{k-} = \arctg x_{k-} - \arctg x_{-k}, \quad (01.02.14)$$

și

$$\frac{1}{\sqrt{1 + x_k^2}} - \frac{1}{\sqrt{1 + x_{-k}^2}}, \quad (01.02.15)$$

unde

$$x_{k-} = \frac{2 \Delta f}{f_0} Q = \frac{2 k f_m}{f_0} Q = k x_0, \text{ cu } x_0 = \frac{2 f_m}{f_0} Q. \quad (01.02.16)$$

Deci relația (01.02.13) devine succesiv:

$$\begin{aligned}
 u_2(t) &= U_{20} \left( \cos \omega_0 t + \frac{A}{2} \sum_{k=1}^5 \frac{\cos(\omega_0 + k \omega_m) t}{\sqrt{1 + k^2 x_0^2}} e^{-j-k} \right. \\
 &\quad \left. + \frac{A}{2} \sum_{k=1}^5 \frac{\cos(\omega_0 - k \omega_m) t}{\sqrt{1 + k^2 x_0^2}} e^{j-k} \right) = U_{20} \left( \cos \omega_0 t + \right. \\
 &\quad \left. + \frac{A}{2} \sum_{k=1}^5 \frac{\cos((\omega_0 + k \omega_m) t - k)}{\sqrt{1 + k^2 x_0^2}} + \frac{A}{2} \sum_{k=1}^5 \frac{\cos((\omega_0 - k \omega_m) t)}{\sqrt{1 + k^2 x_0^2}} \right) \\
 &= U_{20} \left( \cos \omega_0 t + \frac{A}{2} \sum_{k=1}^5 \frac{\cos((\omega_0 + k \omega_m) t - k) + \cos((\omega_0 - k \omega_m) t)}{\sqrt{1 + k^2 x_0^2}} \right) \\
 &= U_{20} \left( \cos \omega_0 t + A \sum_{k=1}^5 \frac{\cos \omega_0 t \cos(k \omega_m t - k)}{\sqrt{1 + k^2 x_0^2}} \right) = \\
 &= U_{20} \left( 1 + A \sum_{k=1}^5 \frac{\cos(k \omega_m t - k)}{\sqrt{1 + k^2 x_0^2}} \right) \cos \omega_0 t .
 \end{aligned}$$

(01.02.17)

d) Din expresia (01.02.17) rezult\_ gradul de modula\_ie  $m_2$  al semnalului de ie\_ire:

$$\begin{aligned}
 m_2 &= \frac{(1 + A \sum_{k=1}^5 \frac{1}{\sqrt{1 + k^2 x_0^2}}) - (1 - A \sum_{k=1}^5 \frac{1}{\sqrt{1 + k^2 x_0^2}})}{(1 + A \sum_{k=1}^5 \frac{1}{\sqrt{1 + k^2 x_0^2}}) + (1 - A \sum_{k=1}^5 \frac{1}{\sqrt{1 + k^2 x_0^2}})} = \\
 &= A \sum_{k=1}^5 \frac{1}{\sqrt{1 + k^2 x_0^2}} = 0,417 < m_1 = 5 \quad A = 0,5 .
 \end{aligned}$$

(01.02.18)

Deci gradul de modula\_ie  $m_2$  al semnalului de ie\_ire este inferior celui de la intrarea etajului.

**3. Influența funcției de transfer a circuitelor rezonante derivate asupra semnalului MF. Analiză cu metoda cvasistationară.**

La intrarea etajului amplificator cu circuit rezonant derivat analizat în problema 1 se aplică un semnal cu modulație în frecvență având expresia:

$$u_1(t) = U_{10} \cos(\omega_0 t + 5 \sin \omega_m t), \quad (01.03.01)$$

unde  $U_{10} = 2 \text{ mV}$ ,  $f_m = 200 \text{ Hz}$ ,  $f_0 = 1 \text{ MHz}$ . Să se precizeze:

- a) dacă sunt îndeplinite condițiile pentru aplicarea metodei cvasistationare;
- b) amplitudinea semnalului  $u_2(t)$  obținută la ieșirea etajului;
- c) faza semnalului  $u_2(t)$ ;
- d) factorul de distorsiuni neliniare de ordinul 3.

**Rezolvare.**

a) Banda ocupată de semnalul MF este dată de formula de aproximare a lui Carson:

$$(01.03.02)$$

unde  $f_m = 200 \text{ Hz}$ ,  $\beta = 5$  (indicele de modulație în frecvență); deci  $B_{MF} = 3,294 \text{ kHz} < B_{3\text{dB}} = 18,5 \text{ kHz}$ . În cadrul metodei cvasistationare se consideră că se poate lucra cu frecvența instantanee a semnalului

$$\omega_i(t) = \omega_0 + \Delta\omega \cos \omega_m t \quad (01.03.03)$$

ca și cum aceasta ar fi constantă (deci  $\omega_i(t) \leftrightarrow \omega_0$ ).

Condițiile de regim cvasistationar sunt:

$$1. 2 \Delta f < B_{3\text{dB}}, \text{ unde } 2 \Delta f = 2 f_m \beta = 2 \text{ kHz} < B_{3\text{dB}} = 18,5 \text{ kHz}; \quad (01.03.04)$$

$$2. f_m \ll \Delta f. \quad (01.03.05)$$

Condițiile (01.03.04) și (01.03.05) se pot compactiza în relația:

$$(01.03.06)$$

Dacă în expresia (01.03.06) se înlocuiesc datele problemei se obține  $0,0006 < 1$ , evident adevărat, deci este îndeplinită condiția de regim cvasistationar.

b) Interesează amplitudinea semnalului  $u_2(t)$  și faza sa:

$$u_2(t) = U_2(t) \cos(\omega_0 t + \varphi_2(t)). \quad (01.03.07)$$

Amplitudinea  $U_2(t)$  a semnalului de ieșire va fi dată de:

$$U_2(t) = U_{10} \frac{H(\omega_0)}{\sqrt{1 + x_i^2}}, \quad (01.03.08)$$

unde termenul

$$\frac{H(\omega_0)}{\sqrt{1 + x_i^2}}$$

reprezintă amplificarea semnalului  $u_1(t)$  de frecvență instantanee  $\omega_i(t)$ , iar variabila normalizată  $x_i$  este dată de

$$x_i = Q \left( \frac{\omega_i - \omega_0}{\omega_0} \right) = Q \frac{2(\omega_i - \omega_0)}{\omega_0} = Q \frac{2 \Delta f \cos \omega_m t}{f_0} = \frac{2 \Delta f \cos \omega_m t}{B_{3dB}} \quad (01.03.09)$$

deoarece se poate utiliza aproximația de bandă îngustă pentru a putea simplifica calculele, fiind îndeplinită inegalitatea:

$$(01.03.10)$$

Una din condițiile impuse de cvasistabilitate fiind

$$\frac{\Delta f}{B_{3dB}} \gg 1, \quad (01.03.11)$$

deci  $|x_i| \ll 1$ , se pot utiliza aproximațiile deduse prin dezvoltare în serie Taylor în jurul punctului  $x_i = 0$ :

$$\sqrt{1 + x_i^2} \approx 1 + \frac{x_i^2}{2} \approx 1 - x_i^2 \text{ pentru } x_i \gg 1, \quad (01.03.12)$$

rezultând:

$$\frac{1}{\sqrt{1 + x_i^2}} \approx 1 - \frac{x_i^2}{2}, \quad (01.03.13)$$

unde au fost neglijate termenii de ordin mai mare sau egal cu 4. Ca urmare:



(01.03.14)

deci apare o modula\_ie parazit\_ în amplitudine în urma trecerii semnalului MF prin etajul selectiv. Gradul de modula\_ie este dat de:

(01.03.15)

Se constat\_ c\_ semnalul  $u_2(t)$  este modulat în amplitudine cu armonica a II-a a semnalului modulator.

Amplitudinea  $U_2(t)$  a semnalului de ie\_ire este

$$U_2(t) = U_{10} H(\omega_0) \left( 1 - \left( \frac{\Delta f}{B_{3\text{ dB}}} \right)^2 \right) = 808,381 \text{ mV} .$$

(01.03.16)

c) Faza semnalului  $u_2(t)$  este:

$$\varphi_2(t) = \beta \sin \omega_m t - \arctg x_i .$$

(01.03.17)

Întrucât s-a ar\_tat c\_  $x_i \ll 1$ , se poate utiliza dezvoltarea în serie Taylor a func\_iei  $\arctg$ :

$$\arctg x_i \approx x_i - x_i^3 / 3 ;$$

(01.03.18)

dup\_ neglijarea termenului de ordin 3 \_i remarcând faptul c\_

$$x_i \approx \frac{2 \Delta f}{B_{3\text{ dB}}} \cos \omega_m t ,$$

(01.03.19)

se ob\_ine rela\_ia care d\_ varia\_ia temporal\_ a fazei instantanee:

$$\begin{aligned}
 u_2(t) = & \beta \sin \omega_m t - \frac{2 \Delta f}{B_{3\text{ dB}}} \left( 1 - \left( \frac{\Delta f}{B_{3\text{ dB}}} \right)^2 \right) \cos \omega_m t + \frac{1}{12} \left( \frac{2 \Delta f}{B_{3\text{ dB}}} \right)^3 \cos 3 \omega_m t \\
 & - \beta \sin \omega_m t - \frac{2 \Delta f}{B_{3\text{ dB}}} \cos \omega_m t + \frac{1}{12} \left( \frac{2 \Delta f}{B_{3\text{ dB}}} \right)^3 \cos 3 \omega_m t
 \end{aligned}
 \tag{01.03.20}$$

Fie  $\psi \in [0; 2\pi)$  astfel încât:

(01.03.21)

evident  $\psi$  - constant. Atunci  $u_2(t)$  va fi dat de:

(01.03.22)

Deci, în cazul în care semnalul respectă condițiile de regim cvasistationar, în urma trecerii printr-un amplificator cu circuit rezonant derivativ RLC, nu apare o modulație de fază parazit semnificativă, ci numai o întârziere (un defazaj).

Ca urmare, întrucât seama de faptul că informația este conținută în fază și nu în amplitudine, nu apar distorsiuni semnificative ale semnalului demodulat în urma utilizării acestui tip de amplificator trece-bandă pentru recepția semnalelor MF.

#### Observație:

Modulația parazită de amplitudine poate fi eliminată prin amplificare-limitare. În figura 01.03.01 este dat un schemă tipică de eliminare a modulației parazite de amplitudine.

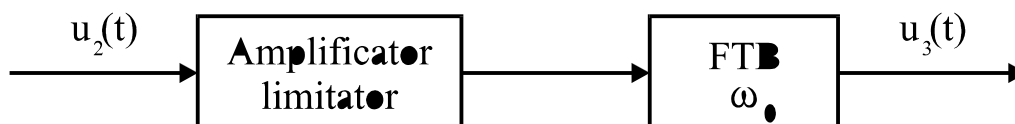


Figura 01.03.01. Schemă bloc de eliminare a modulației parazite de amplitudine a semnalului MF.



d) Factorul de distorsiuni neliniare de ordinul 3 datorate modula\_iei parazite de faz\_ este

(01.03.23)

Deci distorsiunile de faz\_ nu au o pondere semnificativ\_.

**4. Influen\_ă func\_iei de transfer a circuitelor rezonante deriva\_ie asupra unui semnal MF. Analiz\_ă cu metoda armonic\_.**

La intrarea unui etaj amplificator cu circuit rezonant deriva\_ie de genul celui analizat în problema 1 se aplic\_ă un semnal cu modula\_ie în frecven\_\_ avînd expresia:

$$u_1(t) = U_1 \cos(\omega_0 t + \beta_1 \sin \omega_m t),$$

unde  $U_1 = 2 \text{ mV}$ ,  $f_m = 10 \text{ kHz}$ ,  $f_0 = 30 \text{ MHz}$ ,  $\beta_1 = 5$ . Factorul de calitate al circuitului rezonant este  $Q = 50$ . S\_ă se precizeze:

a) spectrul semnalului de ie\_ire  $u_2(t)$ ;

b) indicele de modula\_ie în frecven\_\_  $\beta_2$  al semnalului de ie\_ire  $u_2(t)$ , în situa\_ia în care  $\beta_1 \ll 1$ . Caz particular:  $\beta_1 = 0,1$ .

**Rezolvare.**

a) Deoarece

$$\cos(x \sin \theta) = J_0(x) + 2 \sum_{m \geq 1} J_{2m}(x) \cos 2m\theta,$$

$$\sin(x \sin \theta) = 2 \sum_{m \geq 1} J_{2m+1}(x) \sin(2m+1)\theta,$$

(unde  $J_n(x)$  este func\_ia Bessel de spe\_ă I \_i ordin  $n$ , avînd proprietatea  $J_{-n}(x) = J_n(x)$ ), semnalul  $u_1(t)$  poate fi scris ca:

$$u_1(t) = U_1 \cos(\omega_0 t + \beta_1 \sin \omega_m t) = U_1 [\cos \omega_0 t \cos(\beta_1 \sin \omega_m t) - \sin \omega_0 t \sin(\beta_1 \sin \omega_m t)] = U_1 \sum_{k \in \mathbb{Z}} J_k(\beta_1) \cos(\omega_0 + k \omega_m)t,$$

(01.04.01)

### Comportarea semnalului MA/MF în cadrul blocurilor de radiofrecven

unde cu  $I$  s-a notat mulțimea numerelor întregi. Semnalul de ieșire  $u_2(t)$  este dat de

$$u_2(t) = U_1 H(\omega_0) \sum_{k \in \mathbb{Z}} \frac{J_k(\beta_1)}{\sqrt{1+x_k^2}} \cos[(\omega_0 + k\omega_m)t - \arctg x_k], \quad (01.04.02)$$

cu

$$x_k = Q \left( \frac{f_0 + k f_m}{f_0} - \frac{f_0}{f_0 + k f_m} \right) = Q \frac{k f_m (2 f_0 + k f_m)}{f_0 (f_0 + k f_m)}, \quad k \in \mathbb{Z}.$$

Pentru  $k$  suficient de mic, se poate folosi aproximația de bandă îngustă

$$x_k \approx \frac{2 k f_m}{f_0} Q \gg 1 \Rightarrow \arctg x_k \approx x_k.$$

b) Dacă  $\beta_1 \ll 1$ , semnificative pentru semnalul  $u_1(t)$  sunt componentele pe frecvențele  $f_0 \pm f_m$ . Totodată sunt valabile aproximațiile:

$$\begin{aligned} & * J_0(\beta) \approx 1 \\ & * \text{din} \end{aligned} \quad (01.04.03)$$

$$\int_0^y x J_0(x) dx = y J_1(y),$$

avem

$$\int_0^y x J_0(x) dx - \int_0^y x dx = -\frac{y^2}{2},$$

deci

$$\begin{aligned} & J_1(\beta) = J_{-1}(\beta) \approx \beta/2; \\ & * \text{din} \end{aligned} \quad (01.04.04)$$

$$J_{n+1}(x) = \frac{2 J_n(x)}{x} - J_{n-1}(x),$$

pentru  $n = 1$  rezultă

$$J_2(\beta) \approx 0. \quad (01.04.05).$$

Deci semnalul de intrare  $u_1(t)$  se aproximează ca fiind

$$u_1(t) = U_1 \cos(\omega_0 t + \beta_1 \sin \omega_m t) = U_1 [J_{-1}(\beta_1) \cos(\omega_0 - \omega_m)t + J_0(\beta_1) \cos \omega_0 t + J_1(\beta_1) \cos(\omega_0 + \omega_m)t],$$

iar semnalul de ieșire  $u_2(t)$ , evaluat cu metoda armonică, este:

$$u_2(t) = U_1 H(\omega_0) \left[ \frac{J_{-1}(\beta_1)}{\sqrt{1+x_1^2}} \cos(\omega_0 - \omega_m)t + J_0(\beta_1) \cos \omega_0 t + \frac{J_1(\beta_1)}{\sqrt{1+x_1^2}} \cos(\omega_0 + \omega_m)t \right] = U_1 H(\omega_0) [J_{-1}(\beta_2) \cos(\omega_0 - \omega_m)t + J_0(\beta_2) \cos \omega_0 t + J_1(\beta_2) \cos(\omega_0 + \omega_m)t],$$

unde s-a folosit notația

$$\beta_2 = \frac{\beta_1}{\sqrt{1+x_1^2}} \quad \text{și} \quad x_1 = x = |x_{-1}|.$$

Conform relațiilor (01.04.03) - (01.04.05), rezultă

$$\begin{aligned} J_0(\beta_1) &= 1 - J_0(\beta_2), \\ \frac{J_1(\beta_1)}{\sqrt{1+x_1^2}} - \frac{\beta_1}{2\sqrt{1+x_1^2}} &= \frac{\beta_2}{2} - J_1(\beta_2), \quad \text{și} \\ \frac{J_{-1}(\beta_1)}{\sqrt{1+x_1^2}} &= J_{-1}(\beta_2). \end{aligned}$$

Deci semnalul de ieșire va avea indicele de modulație

$$\beta_2 = \frac{\beta_1}{\sqrt{1 + \left(\frac{2f_m}{f_0}\right)^2 Q^2}} = 0,09995.$$

Modificarea indicelui de modulație este de aproximativ 0,05 %, deci poate fi considerat neglijabil.

**5. Influența funcției de transfer a circuitelor rezonante derivate asupra unui semnal MF. Analiză cu metoda armonică.**

La intrarea unui etaj amplificator cu circuit rezonant derivat de genul celui analizat în problema 1 se aplică un semnal cu modulație în frecvență ideal având expresia:

$$u_1(t) = U_1 \cos(\omega_0 t + \beta \sin \omega_m t),$$

unde  $U_1 = 2 \text{ mV}$ ,  $f_m = 10 \text{ kHz}$ ,  $f_0 = 100 \text{ MHz}$ ,  $\beta = 5$ . Factorul de calitate al circuitului rezonant este  $Q = 50$ . Utilizând analiza armonică, se cere determinarea:

- gradului de modulație parazită a anvelopei semnalului  $u_2(t)$  obținut la ieșire;
- expresia semnalului  $u_{\text{DEM}}(t)$  de la ieșirea unui demodulator ideal (format din circuit de derivare și detector de anvelopă) la intrarea căruia se aplică  $u_2(t)$ ;
- distorsiunile semnalului  $u_{\text{DEM}}(t)$ .

### Rezolvare.

a) Unul dintre efectele trecerii unui semnal MF printr-un filtru trece-bandă constă în apariția modulației parazite în amplitudine. Dacă la intrare în etajul amplificator anvelopa semnalului MF are o amplitudine constantă  $U_1$ , în urma modificării componentelor va apărea o modulație parazită care va fi pusă în evidență prin metoda armonică. Se poate scrie

$$u_2(t) = U_1 H_0 \sum_{k \in \mathbb{Z}} \frac{J_k(\beta)}{\sqrt{1+x_k^2}} \cos[(\omega_0 + k\omega_m)t - \arctg x_k],$$

unde cu  $I$  s-a notat mulțimea numerelor întregi, și, pentru un calcul simplificat s-a neglijat  $\arctg x_k$ , aproximație justificată pentru componentele aflate în cadrul benzii Carson a semnalului. De asemenea, se consideră  $x_k \approx x_{-k}$  rezultând

$$u_2(t) = U_1 H(\omega_0) \left[ (J_0(\beta) + 2 \sum_{k \geq 1} \frac{J_{2k}(\beta)}{\sqrt{1+x_{2k}^2}} \cos 2k\omega_m t) \cos \omega_0 t - (2 \sum_{k \geq 1} \frac{J_{2k+1}(\beta)}{\sqrt{1+x_{2k+1}^2}} \sin(2k+1)\omega_m t) \sin \omega_0 t \right],$$

de unde se poate determina anvelopa semnalului ca fiind



$$A(t) = U_1 H(\omega_0) \left( (J_0(\beta) + 2 \sum_{k \geq 1} \frac{J_{2k}(\beta) \cos 2k \omega_m t}{\sqrt{1 + x_{2k}^2}})^2 + (2 \sum_{k \geq 1} \frac{J_{2k+1}(\beta) \sin (2k+1) \omega_m t}{\sqrt{1 + x_{2k+1}^2}})^2 \right)^{\frac{1}{2}} = U_1 H(\omega_0) \cdot$$

$$\bullet \left( \left( \sum_{k \in -} \frac{J_{2k}(\beta)}{\sqrt{1 + x_{2k}^2}} \cos 2k \omega_m t \right)^2 + \left( \sum_{k \in -} \frac{J_{2k+1}(\beta)}{\sqrt{1 + x_{2k+1}^2}} \sin (2k+1) \omega_m t \right)^2 \right)^{\frac{1}{2}}$$

(01.05.01)

**Observație:**

În cazul în care filtrul trece-band ar fi ideal (nu ar interveni modificări diferențiate ale componentelor), s-ar remarca faptul că anvelopa ar avea o amplitudine constantă anume

$$A(t) = U_1 H(\omega_0) \sqrt{\left( \sum_{k \in -} \frac{J_{2k}(\beta) \cos 2k \omega_m t}{\sqrt{1 + x_{2k}^2}} \right)^2 + \left( \sum_{k \in -} \frac{J_{2k+1}(\beta) \sin (2k+1) \omega_m t}{\sqrt{1 + x_{2k+1}^2}} \right)^2}$$

$$= U_1 H(\omega_0) \sqrt{\cos^2(\beta \sin \omega_m t) + \sin^2(\beta \sin \omega_m t)} = U_1$$

ceea ce se observă dacă se analizează expresia

$$u_2(t) = H(\omega_0) U_1 \cos(\omega_0 t + \beta \sin \omega_m t).$$

În continuare se analizează anvelopa A(t) pentru un filtru trece-band real. Având în vedere că, practic, banda este limitată (formula lui Carson asigură că 99 % din energie se transferă în cadrul benzii  $2 f_m (\beta + 1 + \beta^{1/2})$ ), deci valorile lui k pentru care componentele spectrale sunt semnificative se încadrează în jurul lui 0, atunci  $|x_k| \ll 1$ , deci

$$\frac{1}{\sqrt{1 + x_k^2}} \approx \frac{1}{1 + \frac{x_k^2}{2}} \approx 1 - \frac{x_k^2}{2} = 1 - k^2 \frac{x_1^2}{2}, \text{ unde } x_1 = \frac{2 f_m}{f_0} Q_0.$$

Notând cu E domeniul valorilor de interes pentru k, anume valorile întregi cuprinse între  $-2(\beta + 1 + \beta^{1/2})$  și  $2(\beta + 1 + \beta^{1/2})$ , expresia (01.05.01) devine

$$\begin{aligned}
 & A(t) = U_1 H(\omega_0) \left[ \left( \sum_{\substack{k \in E \\ k - \text{par}}} J_k(\beta) \left( 1 - \frac{k^2 x_1^2}{2} \right) \cos k \omega_m t \right)^2 + \left( \sum_{\substack{k \in E \\ k - \text{impar}}} J_k(\beta) \left( 1 - \frac{k^2 x_1^2}{2} \right) \sin k \omega_m t \right)^2 \right]^{\frac{1}{2}} = U_1 H(\omega_0) \\
 & \cdot \left[ \sum_{\substack{k \in E \\ k - \text{par}}} k^2 J_k(\beta) \cos k \omega_m t \right]^2 + \left[ \sum_{\substack{k \in E \\ k - \text{impar}}} k^2 J_k(\beta) \sin k \omega_m t \right]^2 \\
 & \quad - \frac{x_1^2}{2} \sum_{\substack{k \in E \\ k - \text{par}}} k^2 J_k(\beta) \cos k \omega_m t + \frac{x_1^2}{2} \sum_{\substack{k \in E \\ k - \text{impar}}} k^2 J_k(\beta) \sin k \omega_m t
 \end{aligned}
 \tag{01.05.02}$$

Dar

$\frac{d^2 \cos k \omega_m t}{d \omega_m^2} = -k^2 \cos k \omega_m t$ , folosind prelungirea prin continuitate în punctul  $t=0$ , se rescriu cele două sume ce intervin în expresia amplitudinii:

$$\begin{aligned}
 & \sum_{\substack{k \in E \\ k - \text{par}}} k^2 J_k(\beta) \cos k \omega_m t = -\frac{1}{t^2} \sum_{\substack{k \in E \\ k - \text{par}}} \frac{d^2}{d \omega_m^2} (k^2 J_k(\beta) \cos k \omega_m t) \\
 & = -\frac{1}{t^2} \frac{d^2}{d \omega_m^2} \left( \sum_{\substack{k \in E \\ k - \text{par}}} k^2 J_k(\beta) \cos k \omega_m t \right) = -\frac{1}{t^2} \frac{d^2}{d \omega_m^2} \cos(\beta \sin \omega_m t) \\
 & = -\frac{1}{t^2} \frac{d}{d \omega_m} \left( -\sin(\beta \sin \omega_m t) \cdot \beta t \cos \omega_m t \right) = \\
 & = \frac{\beta}{t} \frac{d}{d \omega_m} \left( \sin(\beta \sin \omega_m t) \cos \omega_m t \right) = \\
 & = \frac{\beta}{t} \left( \cos(\beta \sin \omega_m t) \cdot \beta t \cos^2 \omega_m t - \sin(\beta \sin \omega_m t) t \sin \omega_m t \right) = \\
 & = \beta^2 \cos(\beta \sin \omega_m t) \cos^2 \omega_m t - \beta \sin(\beta \sin \omega_m t) \sin \omega_m t.
 \end{aligned}
 \tag{01.05.03}$$

Similar

$$\begin{aligned}
 \sum_{\substack{k \in E \\ k - \text{impar}}} k^2 J_k(\beta) \sin k \omega_m t &= -\frac{1}{t^2} \sum_{\substack{k \in E \\ k - \text{impar}}} \frac{d^2}{d \omega_m^2} (k^2 J_k(\beta) \sin k \omega_m t) \\
 &= -\frac{1}{t^2} \frac{d^2}{d \omega_m^2} \left( \sum_{\substack{k \in E \\ k - \text{impar}}} k^2 J_k(\beta) \sin k \omega_m t \right) = -\frac{1}{t^2} \frac{d^2}{d \omega_m^2} \sin(\beta \sin \omega_m t) \\
 &= -\frac{1}{t^2} \frac{d}{d \omega_m} (\cos(\beta \sin \omega_m t) \cdot \beta t \cos \omega_m t) = \\
 &= \frac{\beta}{t} (\sin(\beta \sin \omega_m t) \cdot \beta t \cos^2 \omega_m t + \cos(\beta \sin \omega_m t) t \sin \omega_m t) \\
 &= \beta^2 \sin(\beta \sin \omega_m t) \cos^2 \omega_m t + \beta \cos(\beta \sin \omega_m t) \sin \omega_m t.
 \end{aligned}
 \tag{01.05.04}$$

Ca urmare, notând  $\alpha = x_1^2 / 2$ , conform (01.05.03) și (01.05.04), expresia (01.05.02) devine

$$\begin{aligned}
 A(t) - U_1 H(\omega_0) [ &(\cos(\beta \sin \omega_m t) - \alpha \beta^2 \cos(\beta \sin \omega_m t) \cos^2 \omega_m t \\
 &+ \alpha \beta \sin(\beta \sin \omega_m t) \sin \omega_m t)^2 + (\sin(\beta \sin \omega_m t) - \\
 &- \alpha \beta^2 \sin(\beta \sin \omega_m t) \cos^2 \omega_m t - \alpha \beta \cos(\beta \sin \omega_m t) \sin \omega_m t)^2 ]
 \end{aligned}
 \tag{01.05.05}$$

deci

$$\begin{aligned}
 -\frac{A(t)}{U_1 H(\omega_0)} -^2 &= 1 + \alpha^2 \beta^4 \cos^4 \omega_m t + \alpha^2 \beta^2 \sin^2 \omega_m t - 2 \alpha \beta^2 \cos^2 \omega_m t \sin^2 \omega_m t \\
 &= 1 + \alpha^2 \beta^2 - (\alpha^2 \beta^2 + 2 \alpha \beta^2) \cos^2 \omega_m t + \alpha^2 \beta^4 \cos^4 \omega_m t = \\
 &= 1 + \alpha^2 \beta^2 - \alpha \beta^2 (\alpha + 2) \cos^2 \omega_m t + \alpha^2 \beta^4 \cos^4 \omega_m t = \\
 &= \left( \frac{\alpha + 2}{2} - \alpha \beta \cos^2 \omega_m t \right)^2 + 1 + \alpha^2 \beta^2 - \left( \frac{\alpha + 2}{2} \right)^2 = \\
 &= \left( 1 + \frac{\alpha}{2} - \alpha \beta \cos^2 \omega_m t \right)^2 + \alpha^2 \beta^2 - \alpha - \frac{\alpha^2}{4}.
 \end{aligned}$$

(01.05.06)

Dar  $\alpha \beta \ll (\beta x_1^2) / 2 < 1$  (s-a lucrat în ipoteza  $x_1 \ll 1$ ), deci valoarea minimă a anvelopei se obține pentru  $\cos^2 \omega_m t = 1$ , iar cea maximă pentru  $\cos^2 \omega_m t = 0$ . Deci, presupunând  $c_\alpha \ll 1$ , rezultă

$$\begin{aligned}
 A_{min} &= U_1 H(\omega_0) \sqrt{1 + \alpha^2 \beta^2 - \alpha \beta^2 (\alpha + 2) + \alpha^2 \beta^4} = \\
 &= U_1 H_0 \sqrt{1 - 2\alpha \beta^2 + \alpha^2 \beta^4} = U_1 H_0 (1 - \alpha \beta^2),
 \end{aligned}
 \tag{01.05.07}$$

și

$$A_{max} = U_1 H(\omega_0) \sqrt{1 + \alpha^2 \beta^2} = U_1 H_0 \left(1 + \frac{\alpha^2 \beta^2}{2}\right).
 \tag{01.05.08}$$

Cu ajutorul relațiilor (01.05.07) și (01.05.08) se poate determina expresia gradului de modulație al semnalului  $u_2(t)$  al semnalului de la ieșirea filtrului:

$$\begin{aligned}
 m_{OUT} &= \frac{A_{max} - A_{min}}{A_{max} + A_{min}} = \frac{-1 + \alpha \beta^2 + 1 + \frac{\alpha^2 \beta^2}{2}}{1 - \alpha \beta^2 + 1 + \frac{\alpha^2 \beta^2}{2}} = \frac{\alpha \beta^2 + \frac{\alpha^2 \beta^2}{2}}{2 - \alpha \beta^2 + \frac{\alpha^2 \beta^2}{2}} = \\
 &= \frac{\frac{\alpha^2 \beta^2}{2}(\alpha + 2)}{2 + \frac{\alpha^2 \beta^2}{2}(\alpha - 2)} = \frac{\alpha \beta^2(\alpha + 2)}{4} - \frac{\alpha \beta^2}{2} = \frac{x_1^2 \beta^2}{4}.
 \end{aligned}
 \tag{01.05.09}$$

#### **Observație:**

În calculele de mai sus s-a lucrat cu ipoteza  $\alpha \ll 1$ , care este valabilă în cele mai multe cazuri. Spre exemplu, pentru cazul analizat în care  $f_m = 10 \text{ kHz}$ ,  $f_s = 100 \text{ MHz}$ ,  $Q = 50$ , se obține

$$x_1 = \frac{2 \Delta f}{f_s} Q = \frac{2 f_m}{f_s} Q = 0,01,$$

deci  $\alpha = 5 \cdot 10^{-5} \ll 1$ . De asemenea, se remarcă faptul că este îndeplinită și condiția  $\alpha \beta \ll 1$ .

#### **Observație:**

Se remarcă similitudinea rezultatelor obținute prin metodele cvasistacionare și armonice. Dacă în relația (01.05.09) se înlocuiește expresia lui  $x_1$  și se ține cont de faptul că  $\Delta f = \beta f_m$  se obține rezultatul final al punctului b) de la problema 3.

b) Semnalul de ieșire fiind

$$u_2(t) = A(t) \cos(\omega_0 t + \varphi(t)),$$

după eliminarea modulației parazite a anvelopei, la intrarea demodulatorului semnalul poate fi scris ca:

$$u_{in\,dem}(t) = A \cos(\omega_0 t + \varphi(t)),$$

deci

$$\frac{d}{dt} u_{in\,dem}(t) = A[-(\omega_0 + \dot{\varphi}(t)) \sin(\omega_0 t + \varphi(t))].$$

După demodularea de anvelopă și rejecția componentei continue se obține:

$$u_{dem}(t) = A \dot{\varphi}(t). \quad (01.05.10)$$

Pentru explicitarea expresiei (01.05.10) se determină expresia fazei instantanee  $\varphi(t)$ . Astfel

$$u_2(t) = A(t) \cos(\omega_0 t + \varphi(t)),$$

unde

$$A(t) = U_1 H(\omega_0) \sqrt{\left(1 + \frac{\alpha}{2} - \alpha \beta \cos^2 \omega_m t\right)^2 + \alpha^2 \beta^2 - \alpha - \frac{\alpha^2}{4}}, \quad (01.05.11)$$

și

$$\begin{aligned} \operatorname{tg} \varphi(t) &= \frac{\sum_{k \in \mathbb{Z}} \frac{J_{2k}(\beta)}{\sqrt{1 + x_{2k}^2}} \cos 2k \omega_m t}{\sum_{k \in \mathbb{Z}} \frac{J_{2k+1}(\beta)}{\sqrt{1 + x_{2k+1}^2}} \sin (2k+1) \omega_m t} = \\ &= \frac{\sin(\beta \sin \omega_m t) - \alpha \beta (\beta \sin(\beta \sin \omega_m t) \cos^2 \omega_m t + \cos(\beta \sin \omega_m t))}{\cos(\beta \sin \omega_m t) - \alpha \beta (\beta \cos(\beta \sin \omega_m t) \cos^2 \omega_m t - \sin(\beta \sin \omega_m t))} \end{aligned} \quad (01.05.12)$$

cu  $\alpha = x_1^2 \ll 1$ . Notând  $\gamma = \operatorname{tg}(\beta \sin \omega_m t)$ , se obține

$$\begin{aligned} \operatorname{tg} \varphi(t) &= \gamma \frac{1 - \alpha \beta^2 \cos^2 \omega_m t - \frac{\alpha \beta}{\gamma} \sin \omega_m t}{1 - \alpha \beta^2 \cos^2 \omega_m t + \alpha \beta \gamma \sin \omega_m t} = \frac{\gamma - \frac{\alpha \beta \sin \omega_m t}{1 - \alpha \beta^2 \cos^2 \omega_m t}}{1 + \gamma \frac{\alpha \beta \sin \omega_m t}{1 - \alpha \beta^2 \cos^2 \omega_m t}} \\ &= \operatorname{tg} \left( \beta \sin \omega_m t - \operatorname{arctg} \left( \frac{\alpha \beta \sin \omega_m t}{1 - \alpha \beta^2 \cos^2 \omega_m t} \right) \right), \end{aligned}$$

deci

$$\varphi(t) = \beta \sin \omega_m t - \operatorname{arctg} \left( \frac{\alpha \beta \sin \omega_m t}{1 - \alpha \beta^2 \cos^2 \omega_m t} \right).$$

În ipoteza c\_  $\alpha = x_1^2 \ll 1$  se pot face, succesiv, aproxima\_iile

$$\begin{aligned} \operatorname{arctg} \left( \frac{\alpha \beta \sin \omega_m t}{1 - \alpha \beta^2 \cos^2 \omega_m t} \right) &\approx \operatorname{arctg} (\alpha \beta \sin \omega_m t) - \\ &\approx \alpha \beta \sin \omega_m t - \frac{(\alpha \beta \sin \omega_m t)^3}{3}, \end{aligned}$$

deci

$$\begin{aligned} \varphi(t) &= (1 - \alpha) \beta \sin \omega_m t + \alpha^3 \beta^3 \frac{3 \sin \omega_m t - \sin 3 \omega_m t}{4} = \\ &= (1 - \alpha + \frac{3}{4} \alpha^3 \beta^2) \beta \sin \omega_m t - \frac{\alpha^3 \beta^3}{4} \sin 3 \omega_m t. \end{aligned}$$

(01.05.13)

Neglijând termenii în  $\alpha^3$  rezult\_

$$\varphi(t) \approx (1 - \alpha) \beta \sin \omega_m t.$$

(01.05.14)

Din rela\_iile (01.05.10) \_i (01.05.13) se ob\_ine expresia semnalului de la ie\_irea demodulatorului:

$$\begin{aligned}
 u_{dem}(t) &= A_0 \cos(\omega_m t) = \\
 &= A_0 \beta \left[ \left( 1 - \alpha + \frac{3}{4} \alpha^3 \beta^2 \right) \cos \omega_m t - \frac{3 \alpha^3 \beta^3}{4} \cos 3 \omega_m t \right].
 \end{aligned}
 \tag{01.05.15}$$

**Observație:**

Pentru  $\alpha = 0$  rezultă  $u_{dem}(t) = A_0 \cos \omega_m t$ .

c) Distorsiunile neliniare de ordinul III sunt

$$\delta_3 = \frac{3 \alpha^3 \beta^3}{4 \left( 1 - \alpha + \frac{3}{4} \alpha^3 \beta^2 \right)} = 2,34 \cdot 10^{-12},$$

deci, în cazul considerat, neglijabile.

**6. Influența funcției de transfer a circuitelor rezonante derivate asupra unui semnal MF. Reducerea spectrului semnalului MF. Analiză cu metoda armonică.**

Un radiotelefon folosește semnale MF cu deviația maximă de frecvență  $\Delta f = 5 \text{ kHz}$  și frecvența modulatorie  $f_m \in [300; 3600] \text{ Hz}$ . Receptorul are frecvența intermediară  $f_i = 10,7 \text{ MHz}$ , iar circuitele rezonante din amplificatorul de frecvență intermediară realizează o caracteristică de frecvență apropiată de cea a unui filtru trece-bandă ideal cu banda de trecere  $B_{3\text{dB}} = 15 \text{ kHz}$ . Se presupune că defazajul introdus de filtru este neglijabil.

Dacă receptorul este corect acordat și dacă  $f_m = 3570 \text{ Hz}$ , se cer:

- modulația parazită de amplitudine introdusă de filtru;
- indicele de modulație  $\beta_2$  al semnalului  $u_2(t)$  de la ieșirea filtrului;
- coeficientul de distorsiuni neliniare al semnalului  $u_2(t)$ .
- refacerea punctelor a) - c) în condițiile în care deviația maximă de frecvență este  $\Delta f = 2,14 \text{ kHz}$ .

**Rezolvare.**

a) Dacă  $\Delta f = 5 \text{ kHz}$  și  $f_m = 3570 \text{ Hz}$  rezultă indicii de modulație  $\beta_1$  al semnalului  $u_1(t)$  de la intrarea filtrului ca fiind  $\beta_1 = 1,4$ . Expresia semnalului  $u_1(t)$  este



$$u_1(t) = U_1 \cos(\omega_0 t + \beta_1 \sin \omega_m t) = U_1 [\cos \omega_0 t \cos(\beta_1 \sin \omega_m t) - \sin \omega_0 t \sin(\beta_1 \sin \omega_m t)] = U_1 \sum_{k \in \mathbb{Z}} J_k(\beta_1) \cos(\omega_0 + k \omega_m)t,$$

(01.06.01)

unde cu  $I$  s-a notat mulțimea numerelor întregi. Deoarece filtrul trece-bandă dispune de o bandă de trecere  $B_{3\text{dB}} = 15 \text{ kHz}$ , mai redusă decât banda semnalului MF (formula lui Carson precizează că semnalul MF are banda  $B_{\text{MF}} = 2 f_m (\beta + 1 + \beta^{1/2}) = 25,58 \text{ kHz}$ ) va apărea fenomenul de reducere a spectrului prin pierderea unor componente spectrale semnificative. Filtrul trece-bandă va elimina componentele spectrale depărtate de purtoare cu mai mult de  $\pm 7,5 \text{ kHz}$ . Ca urmare în expresia semnalului  $u_2(t)$  vor rămâne componentele spectrale ale căror indice  $k$  respectă inegalitatea

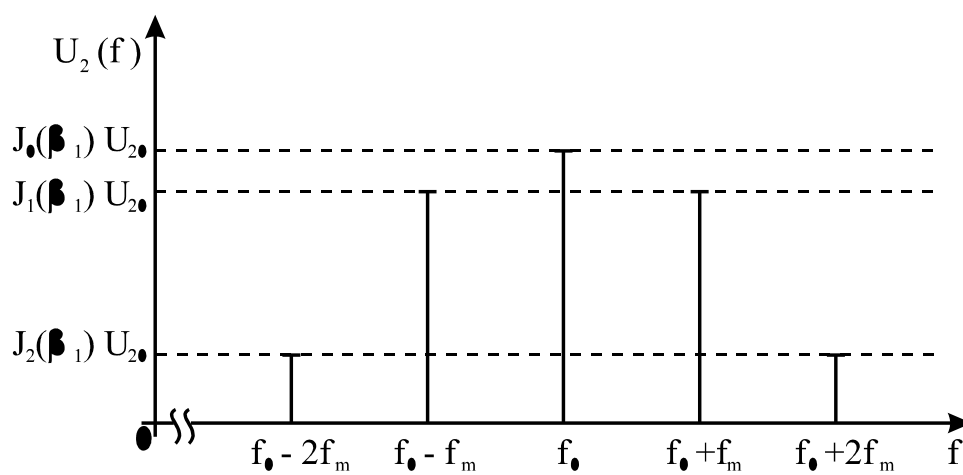
$$-k \leq \left\lceil \frac{B_{3\text{dB}}}{2 f_m} \right\rceil = 2,$$

unde cu  $[x]$  s-a notat partea întreagă a variabilei  $x$ , deci

$$u_2(t) = U_1 H(\omega_0) \sum_{k=-2}^2 J_k(\beta_1) \cos(\omega_0 + k \omega_m)t.$$

(01.06.02)

În expresia de mai sus s-a notat cu  $H(\omega_0)$  modulul factorului de transfer al filtrului trece-bandă, presupus constant. În figura 01.06.01 este prezentat spectrul semnalului  $u_2(t)$  cu  $U_{20} = H(\omega_0) U_1$ .


 Figura 01.06.01. Spectrul semnalului  $u_2(t)$  .

Dezvoltând expresia (01.06.02) și ținând cont de faptul că  $J_{-k}(\beta) = (-1)^k J_k(\beta)$  rezultă:

$$\begin{aligned} u_2(t) &= U_1 H(\omega_0) [J_0(\beta_1) \cos \omega_0 t + J_1(\beta_1) \cos(\omega_0 - \omega_m)t + J_2(\beta_1) \cos(\omega_0 + 2\omega_m)t + \\ &\quad + J_2(\beta_1) \cos(\omega_0 - 2\omega_m)t] = \operatorname{Re}\{U_1 H(\omega_0) [J_0(\beta_1) + J_1(\beta_1)e^{-j\omega_m t} + J_2(\beta_1)e^{2j\omega_m t} + J_2(\beta_1)e^{-2j\omega_m t}] \} \\ &= U_1 H(\omega_0) \operatorname{Re}\{ [J_0(\beta_1) + 2jJ_1(\beta_1)\sin \omega_m t + 2J_2(\beta_1)\cos 2\omega_m t] e^{j\omega_0 t} \} \end{aligned} \quad (01.06.03)$$

Pentru rescrierea mai comodă a expresiei de mai sus se consideră funcțiile  $P(t)$  și  $Q(t)$  date de

$$\begin{cases} P(t) = J_0(\beta_1) + 2J_2(\beta_1)\cos 2\omega_m t, \\ Q(t) = 2J_1(\beta_1)\sin \omega_m t; \end{cases} \quad (01.06.04)$$

ca urmare expresia (01.06.03) devine

$$\begin{aligned} u_2(t) &= U_1 H(\omega_0) \operatorname{Re}\{ [P(t) + jQ(t)] e^{j\omega_0 t} \} = \\ &= U_1 H(\omega_0) \operatorname{Re}\{ \sqrt{P^2(t) + Q^2(t)} e^{j \arctg \frac{Q(t)}{P(t)}} e^{j\omega_0 t} \} = \\ &= U_1 H(\omega_0) \sqrt{P^2(t) + Q^2(t)} \cos(\omega_0 t + \arctg \frac{Q(t)}{P(t)}) = \\ &= U_1 H(\omega_0) \sqrt{P^2(t) + Q^2(t)} \cos \psi(t). \end{aligned} \quad (01.06.05)$$

Amplitudinea normalizată a semnalului  $u_2(t)$  este:

$$\begin{aligned}
 A(t) = \sqrt{P^2(t) + Q^2(t)} = & \left( J_0^2(\beta_1) + 4 J_0(\beta_1) J_2(\beta_1) \cos 2\omega_m t + 4 J_2^2(\beta_1) \cos^2 2\omega_m t + 4 J_1^2(\beta_1) \sin^2 \omega_m t \right)^{\frac{1}{2}} = \\
 & \left( J_0^2(\beta_1) + 2 J_1^2(\beta_1) + 2 J_2^2(\beta_1) + 2(2 J_0(\beta_1) J_2(\beta_1) - J_1^2(\beta_1)) \cos 2\omega_m t + \right. \\
 & \left. + 2 J_2^2(\beta_1) \cos 4\omega_m t \right)^{\frac{1}{2}},
 \end{aligned}$$

(01.06.06)

deci amplitudinea  $A(t)$  se poate scrie sub forma

$$A(t) = \sqrt{J_0^2(\beta_1) + 2 J_1^2(\beta_1) + 2 J_2^2(\beta_1)} \sqrt{1 + a \cos 2\omega_m t + b \cos 4\omega_m t}$$

(01.06.07)

unde parametrii  $a$  și  $b$  sunt

$$\begin{aligned}
 a &= \frac{2(2 J_0(\beta_1) J_2(\beta_1) - J_1^2(\beta_1))}{J_0^2(\beta_1) + 2 J_1^2(\beta_1) + 2 J_2^2(\beta_1)}, \\
 b &= \frac{2 J_2^2(\beta_1)}{J_0^2(\beta_1) + 2 J_1^2(\beta_1) + 2 J_2^2(\beta_1)}.
 \end{aligned}$$

Întrucât  $J_0(\beta_1) = 0,5669$ ,  $J_1(\beta_1) = 0,5419$ ,  $J_2(\beta_1) = 0,2073$  și

$$J_0^2(\beta_1) + 2 J_1^2(\beta_1) + 2 J_2^2(\beta_1) = 0,99463 \approx 1,$$

se pot face următoarele aproximații succesive:

$$\begin{aligned}
 a \approx 2(2 J_0(\beta_1) J_2(\beta_1) - J_1^2(\beta_1)) &= -0,1172 \approx -0,1, \\
 b \approx 2 J_2^2(\beta_1) &= 0,0859 \approx 0,09.
 \end{aligned}$$

precum și

$$A(t) \approx \sqrt{1 + a \cos 2\omega_m t + b \cos 4\omega_m t} \approx 1 + \frac{a}{2} \cos 2\omega_m t + \frac{b}{2} \cos 4\omega_m t.$$

(01.06.08)

În concluzie, se poate scrie

$$A(t) \approx 1 + (2 J_0(\beta_1) J_2(\beta_1) - J_1^2(\beta_1)) \cos 2\omega_m t + J_2^2(\beta_1) \cos 4\omega_m t.$$

(01.06.09)

Gradul de modula\_ie al semnalului  $u_2(t)$  are expresia:

$$m_2 = \frac{A_{max} - A_{min}}{A_{max} + A_{min}},$$

unde

$$A_{max} = 1 + \frac{a}{2} + \frac{b}{2} \quad \text{și} \quad A_{min} = 1 - \frac{a}{2} - \frac{b}{2},$$

deci

$$m_2 = \frac{a + b}{2} = J_1^2(\beta_1) + J_2^2(\beta_1) - 2J_0(\beta_1)J_2(\beta_1) = 10,16$$

b) Frecvența instantanee a semnalului  $u_2(t)$  este

$$\omega_i = \frac{d}{dt} \psi(t) = \frac{d}{dt} \left( \omega_0 t + \arctg \frac{Q(t)}{P(t)} \right) = \omega_0 + \frac{P(t)Q'(t) - P'(t)Q(t)}{P^2(t) + Q^2(t)}, \quad (01.06.10)$$

și, ținând cont de posibilitatea de aproximare  $P^2(t) + Q^2(t) = A^2(t) \approx 1$  (deci în ipoteza că modulul de amplitudine a anvelopei este neglijabil), se obține

$$\omega_i = \omega_0 + (P(t)Q'(t) - P'(t)Q(t)). \quad (01.06.11)$$

Apoi, succesiv:

$$\begin{aligned} P'(t) &= -4\omega_m J_2(\beta_1) \sin 2\omega_m t, \\ Q'(t) &= 2\omega_m J_1(\beta_1) \cos \omega_m t, \\ P(t)Q'(t) - P'(t)Q(t) &= 2\omega_m J_1(\beta_1) [J_0(\beta_1) + 3J_2(\beta_1)] \cos \omega_m t - \\ &\quad - 2\omega_m J_1(\beta_1) J_2(\beta_1) \cos 3\omega_m t. \end{aligned}$$

Ca urmare, expresia frecvenței instantanee din (01.06.11) devine

$$\begin{aligned} \omega_i &= \omega_0 + 2\omega_m J_1(\beta_1) [J_0(\beta_1) + 3J_2(\beta_1)] \cos \omega_m t - \\ &\quad - 2\omega_m J_1(\beta_1) J_2(\beta_1) \cos 3\omega_m t. \end{aligned} \quad (01.06.12)$$

Dar, pentru un semnal MF, având faza  $\psi(t) = \omega_0 t + \beta \sin \omega_m t$ , expresia frecvenței instantanee este  $\omega_i = \omega_0 + \beta \omega_m \cos \omega_m t$ . Având în vedere acest lucru, se poate identifica indicele de modulație al semnalului  $u_2(t)$  din expresia (01.06.12) ca fiind:

$$\beta_2 = 2 J_1(\beta_1) [J_0(\beta_1) + 3 J_2(\beta_1)] = 1,2884 < \beta_1 = 1,4 . \quad (01.06.13)$$

**Observație:**

În cazul eliminării unor componente spectrale, ca în situația atenuării acestora (situație studiată anterior în cadrul problemelor 3-5), se constată micșorarea indicelui de modulație al semnalului de ieșire  $u_2(t)$ .

c) Interesează determinarea distorsiunilor semnalului  $u_2(t)$ . Conform ecuației (01.06.12), distorsiunile provin din apariția armonicilor de ordinul III. Valoarea distorsiunilor este dată de:

$$\delta_3 = \frac{J_2(\beta_1)}{J_0(\beta_1) + 3 J_2(\beta_1)} = 17,44\% . \quad (01.06.14)$$

d) Pentru  $\Delta f = 2,14$  kHz se obține succesiv  $\beta_1 = 0,6$ ,

$$J_0(\beta_1) = 0,9120 ,$$

$$J_1(\beta_1) = 0,2867 ,$$

$$J_2(\beta_1) = 0,0437 ,$$

$$J_0^2(\beta_1) + 2 J_1^2(\beta_1) + 2 J_2^2(\beta_1) = 0,999957 \approx 1 ,$$

$$a = -0,00498 \ll 1 ,$$

$$b = 0,0038 \ll 1 ,$$

$$m_2 = 0,44 \% ,$$

$$\beta_2 = 0,5981 \text{ și}$$

$$\delta_3 = 4,19 \% .$$